

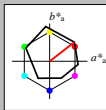
## Eingabe: Farbmimetrisches Reflexions-System ORS18

für Buntton  $h^* = \text{lab}^*h = 38/360 = 0.105$  $\text{lab}^*tch$  und  $\text{lab}^*nch$ 

D65: Buntton O

LCH\*Ma: 48 83 38

rgb\*Ma: 1.0 0.0 0.0

Dreiecks-Helligkeit  $t^*$ 

%Umfang

 $u^*_{rel} = 93$ 

%Regulartät

 $g^*_{H,rel} = 57$  $g^*_{C,rel} = 59$ 

## ORS18; adaptierte CIELAB-Daten

	$L^*=L^*_a$	$a^*_a$	$b^*_a$	$C^*_{ab,a}$	$h^*_{ab,a}$
OMa	47.94	65.37	50.52	82.62	38
YMa	90.37	-10.27	91.77	92.34	96
LMa	50.9	-62.79	34.95	71.87	151
CMa	58.62	-30.35	-45.01	54.3	236
VMa	25.71	31.11	-44.42	54.24	305
MMa	48.13	75.27	-8.35	75.73	354
NMa	18.01	0.0	0.0	0.0	0
WMa	95.41	0.0	0.0	0.0	0
RCIE	39.92	58.66	26.98	64.56	25
ICIE	81.26	-2.17	67.76	67.79	92
GCIE	52.23	-42.26	11.75	43.87	164
BCIE	30.57	1.15	-46.84	46.87	271

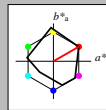
## Ausgabe: Farbmimetrisches Reflexions-System MRS18

für Buntton  $h^* = \text{lab}^*h = 30/360 = 0.083$  $\text{lab}^*tch$  und  $\text{lab}^*nch$ 

D65: Buntton R

LCH\*Ma: 50 77 30

rgb\*Ma: 1.0 0.0 0.0

Dreiecks-Helligkeit  $t^*$ 

%Umfang

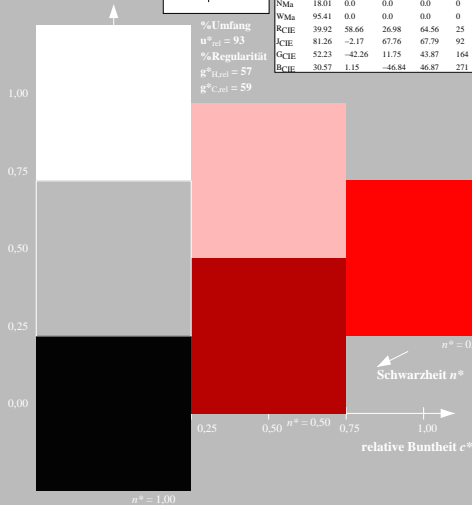
 $u^*_{rel} = 91$ 

%Regulartät

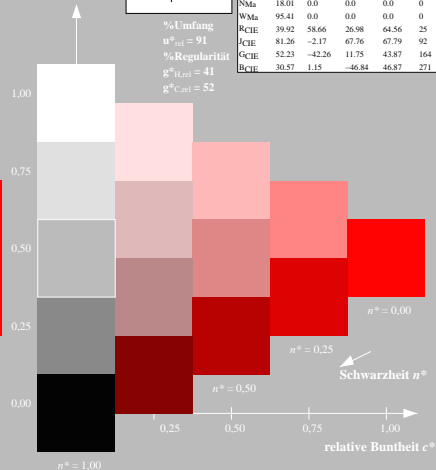
 $g^*_{H,rel} = 41$  $g^*_{C,rel} = 52$ 

## MRS18; adaptierte CIELAB-Daten

	$L^*=L^*_a$	$a^*_a$	$b^*_a$	$C^*_{ab,a}$	$h^*_{ab,a}$
RMa	49.63	66.96	38.37	77.18	30
YMa	90.7	-6.36	88.75	88.98	94
GMa	52.11	-69.73	9.44	70.37	172
G50BMa	45.03	-36.57	-28.47	46.36	218
BMa	36.65	23.19	-63.05	67.18	290
B50RMa	34.94	57.17	-44.26	72.31	322
NMa	18.01	0.0	0.0	0.0	0
WMa	95.41	0.0	0.0	0.0	0
RCIE	39.92	58.66	26.98	64.56	25
ICIE	81.26	-2.17	67.76	67.79	92
GCIE	52.23	-42.26	11.75	43.87	164
BCIE	30.57	1.15	-46.84	46.87	271



TG800-7, 3stufige Reihen für konstanten CIELAB Buntton 38/360 = 0.105 (links)

BAM-Prüfvorlage TG80; Farbmimetrik-Systeme ORS18 & MRS18input: *olv\* setrgbcolor*  
D65: 3 und 5stufige Farbreihen für 10 Bunttöne output: *olv\* setrgbcolor / w\* setgray*

5stufige Reihen für konstanten CIELAB Buntton 30/360 = 0.083 (rechts)